

ТЕРМОЭДС В Р-Н ПЕРЕХОДЕ НА ОСНОВЕ $Cd_xHg_{1-x}Te$ ПРИ РАЗОГРЕВЕ НОСИТЕЛЕЙ ЗАРЯДА

Г.С. СЕИДЛИ, О.М. САДЫХОВ, Р.М. ИСМАЙЛОВ

Бакинское Высшее Военно-Морское Училище

г. Баку, 153, ул. Нахимова

Экспериментально исследована термоэдс горячих носителей в р-п переходе. Показано, что отклонение ВАХ определяется температурой горячих носителей. Определено, что кинетика процесса установления термоэдс соответствует закономерностям в р-п переходах в случае прямого включения.

Ранее нами были рассмотрены термоэдс и термофотоэдс в монокристаллических образцах $Cd_xHg_{1-x}Te$, которые возникают при разогреве носителей заряда сильным электрическим полем [1-3]. Было показано, что если полупроводник поместить в сильное электрическое поле таким образом, чтобы одна часть осталась вне поля, то на контактах из-за разогрева носителей заряда возникает э.д.с., аналогичная обычной. [4]. Установлено, что с помощью очень простой методики можно определять температуру горячих носителей заряда [4].

Аналогичная термоэдс была наблюдена на других полупроводниковых материалах и различных структурах на их основе [5-6]. Однако теория, развитая в работе [4] дает значение термоэдс для таких контактов только в режиме разомкнутой цепи. Для р-п перехода такой режим является трудно наблюдаемым в эксперименте. Поэтому мы можем рассмотреть, как будет изменяться термоэдс в р-п переходе в зависимости от сопротивления нагрузки.

Таким образом, целью настоящей работы является экспериментальное исследование ВАХ в р-п переходе в условиях сильного электрического поля и различные особенности термоэдс горячих носителей заряда.

Экспериментальное исследование термоэдс горячих носителей заряда проводилось на асимметричных переходах на основе р- $Cd_xHg_{1-x}Te$ $0.25 \leq x \leq 0.30$. Методика получения р-п переходов описывалась в [7]. Измерения проводились в интервале температур $80 \leq T \leq 300$ К.

Эксперименты проводились при постоянном СВЧ, греющем поле и при постоянном сопротивлении нагрузки. При этом ВАХ р-п перехода с горячими носителями заряда кроме темнового напряжения $U_{тк}$ добавляется и $U_{вн}$ внешнее напряжение. Поэтому при построении ВАХ, ось напряжения представляется как сумма двух напряжений.

Полученные при таких условиях ВАХ исследуемых образцов $Cd_xHg_{1-x}Te$ при $T=80$ К и при различных греющих электрических полях приведены на рис.1. Как видно из этого рисунка, вольт-амперные характеристики в полулогарифмическом масштабе хорошо ложатся на прямую линию, что показывает экспоненциальность тока от напряжения. Это указывает на то, что в указанных электрических полях они играют роль максвелловской функции распределения горячих носителей заряда. Наклон ВАХ при каждом конкретном значении СВЧ поля позволяет определить температуру горячих носителей заряда.

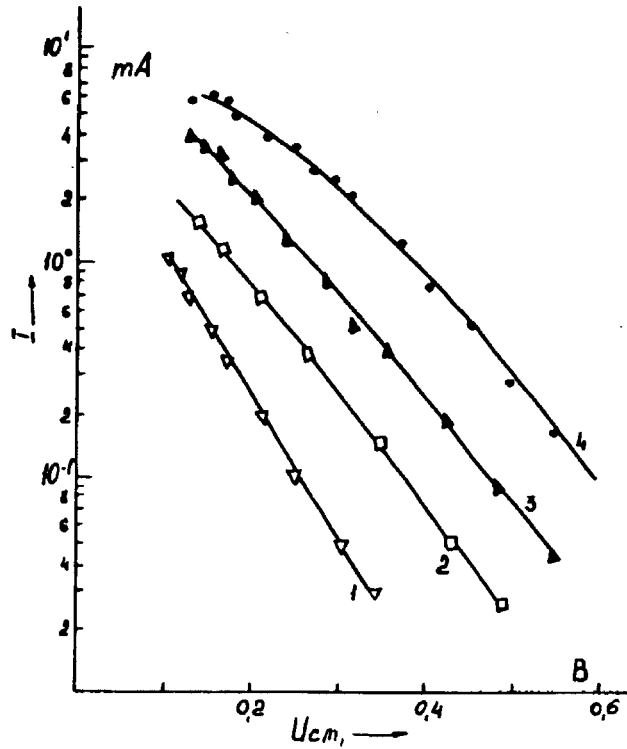


Рис.1. ВАХ р-п перехода на основе р- $Cd_xHg_{1-x}Te$ в условиях разогрева носителей заряда.

$E_{СВЧ}$, В/см: 1 - 10^2 ; 2 - $3 \cdot 10^2$; 3 - $6 \cdot 10^2$; 4 - $8 \cdot 10^2$. $T=80$ К.

Экспериментально измеренные ВАХ указывают на то, что функции распределения горячих носителей заряда в $Cd_xHg_{1-x}Te$ с указанными составами x выше энергии 0,27-0,35 эВ (для различных составов) являются максвелловскими. Но это не означает, что при меньших энергиях функция распределения не имеет какие-нибудь особенности, т.к. применяемая методика не позволяет получить ее вид ниже высоты барьера р-п перехода.

Нами экспериментально рассмотрена также кинетика установления термоэдс на р-п переходе под действием греющего импульса СВЧ поля. На рис.2 приведена зависимость скорости установления термоэдс от напряженности греющего поля при постоянном сопротивлении нагрузки. Из рисунка видно, что, начиная с некоторого напряжения (для различных составов), скорость установления термоэдс начинает зависеть от температуры горячих носителей заряда. С увеличением температуры горячих носителей заряда уменьшается время установления тер-

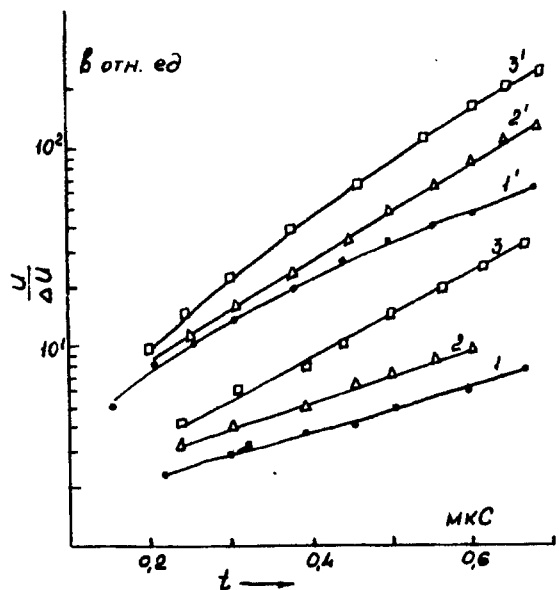


Рис.2. Кинетика установления термоэдс горячих носителей заряда в р-п переходе на основе $Cd_xHg_{1-x}Te$ при различных греющих полях. E_{CV} , В/см: 1,1'- $3 \cdot 10^2$; 2,2'- $5 \cdot 10^2$; 3,3'- $7 \cdot 10^2$; X , % : 1-3 - 0,26; 1'-3' - 0,30. $T = 80$ К.

- [1] В.Б. Антонов, А.Ш. Абдинов, Э.Ю. Салаев, Г.С. Сейидли. ДАН Азерб. ССР, 1978, т. 24, в. 12, с. 19-21.
- [2] А.Ш. Абдинов, Э.Ю. Салаев, Г.С. Сейидли. Физические свойства сложных полупроводников, Баку, 1978, с. 61-62.
- [3] А.Ш. Абдинов, Э.Ю. Салаев, Д.Ш. Абдинов, Г.С. Сейидли. Изв. АН Азерб. ССР, сер. ФТ и МН, 1984, в. 4, с. 78-79.

моэдс. Об этом свидетельствуют и кривые релаксации термоэдс горячих носителей заряда. Анализ этих кривых, снятых при различных значениях нагрузочных сопротивлений показал, что начальный и конечный участки установления термоэдс являются экспоненциальными, но с различными показателями экспоненты.

В начальном участке установления термоэдс не зависит от сопротивления нагрузки и греющего СВЧ поля. На конечном участке (кривые спада) она не только зависит от этих параметров, а также зависит от емкости р-п перехода. Как было показано в [6], после окончания действия СВЧ поля в р-области р-п перехода остается инжектированный заряд, который исчезает точно так же, как и заряд неосновных носителей инжектированный в базу диода при прямом подключении.

Результаты экспериментального исследования показывают, что кинетика установления термоэдс горячих носителей заряда описывается теми же закономерностями, когда через него проходит прямой ток.

- [4] В. Денис, Ю. Пожела. Горячие носители, Вильнюс, Минтис.
- [5] А.И. Вейнгер, Л.Г. Парцикян, Г. Дадамирзаев. ФТП, 1975, т. 9, в. 2, с. 216-224.
- [6] А.И. Вейнгер, Э.А. Акопян. ФТП, 1975, т. 9, в. 2, с. 356-359.
- [7] З.Ф. Агаев, Н.М. Шукюров, Г.С. Сейидли. ДАН Азерб. ССР, 1990, т. 46, в. 6, с. 24-27.

H.S. Seyidli, O.M. Sadixov, R.M. Ismayilov

$Cd_xHg_{1-x}Te$ P-N KEÇİDİNDƏ QIZMAR YÜKDAŞIYICILARIN YARATDIĞI TERMOEHQ

Məqalədə təcrübə olaraq p-n keçiddə qızmar yükdaşıyıcıların yaratdığı termoehq tədqiq edilmişdir. Göstərilmişdir ki, bu halda VAX məyli qızmar yükdaşıyıcıların temperaturu ilə təyin olunur. Müəyyən olunmuşdur ki, termoehq-nin durğunlaşma prosesinin kinetikasında p-n keçiddən düz cərəyan keçərkən baş veren qanunauyğunluqlar kimiidir.

H.S. Seidly, O. M. Sadixov, R.M. Ismailov

THERMAL ELECTROMOTIVE FORCE FEATURES IN P-N JUNCTION ON THE BASIS OF $Cd_xHg_{1-x}Te$

Thermal electromotive force has been experimentally studied in p-n junction of charge carriers caused by heating. It is shown that in this case the temperature of hot charge carriers determines the slope of current-voltage characteristic.

It is established that the same law according to which direct current flows through p-n junction describes the kinetics of thermal electromotive force setting.